

# Формула Марбургера для эллиптически поляризованных световых пучков в нелинейной нелокальной среде

Н. Ю. Кузнецов, К. С. Григорьев, В. А. Макаров<sup>1)</sup>

Физический факультет, МГУ имени М. В. Ломоносова, 119991 Москва, Россия

Поступила в редакцию 10 сентября 2024 г.

После переработки 10 сентября 2024 г.

Принята к публикации 19 сентября 2024 г.

Численно исследована возможность применения формулы Марбургера для нахождения связи между мощностью пучка и расстоянием, на котором происходит нелинейный коллапс пучка с начальным гауссовым профилем интенсивности и однородной эллиптической поляризацией. Показано, что адекватного описания этой зависимости удастся достичь путем подстройки параметров, входящих в эту формулу, в зависимости от степени эллиптичности эллипса поляризации падающего излучения и от механизма нелинейного оптического отклика

DOI: 10.31857/S0370274X24110027, EDN: PHVEFA

**1. Введение.** Немногим более шестидесяти лет назад была предсказана [1] самофокусировка светового пучка, являющаяся причиной возникновения множества нелинейных оптических эффектов, связанных с лавинообразным увеличением энергии электромагнитного поля в малой области, окружающей определенную точку пространства. Описанные в обзорах [2–9] успехи в исследовании самофокусировки линейно или циркулярно поляризованных пучков с различным плавным распределением интенсивности, а впоследствии и импульсов с длительностью, большей или меньшей времени релаксации нелинейности среды, и создание мощных фемтосекундных лазерных систем обеспечили стремительное изучение филаментации лазерных импульсов в различных средах и анализ ее возможных применений (см. обзоры [8–15]).

Самофокусировка света – пороговый эффект, возникающий, если мощность светового пучка  $P$  превышает критическое значение  $P_c$ . Последнее не только зависит от поперечного пространственного распределения интенсивности и поляризации света на границе среды, но и по-разному (с точностью до числового коэффициента) определяется авторами в зависимости от различных способов аналитического решения уравнений распространения или от методов, используемых при их численном решении. В последнем случае порог самофокусировки определяется из условия одновременного достижения бесконечного сжатия пучка и неограниченного возрастания его интенсивности и становится возможным связать введен-

ное в [16] расстояние  $z_c$  от границы среды, на котором это происходит, с  $P/P_c$ . Впервые такая формула, полученная в приближении неизменности линейной поляризации света в процессе распространения, была получена в [17]

$$\frac{z_c}{z_R} = \frac{A}{\left((\sqrt{P/P_c} - B)^2 - C\right)^{1/2}}. \quad (1)$$

Здесь  $z_R$  – длина Рэлея для пучка, распространяющегося в линейной среде, и  $A = 0.366$ ,  $B = 0.825$ ,  $C = 0.03$ . Увеличение точности расчетов позднее привело к немного другим значениям входящих в (1) констант:  $A = 0.367$ ,  $B = 0.852$  и  $C = 0.0219$ . Равенство (1) с этими значениями  $A$ ,  $B$  и  $C$  получило название формулы Марбургера [18]. Ее значение трудно переоценить, так как она позволяет быстро оценить возможность возникновения самофокусировки, нежелательной во многих практических приложениях. Усиление строгости в описании распространения света, связанное с учетом его поляризационного самовоздействия (Мейкер–Терхьюновское вращение, нелинейная оптическая активность), продольной “диффузии” комплексной амплитуды электрического поля и, наконец, малой продольной составляющей поляризации электрического поля  $\mathcal{E}(x, y, z, t)$ , возникающей благодаря уравнению  $\operatorname{div} \mathbf{D} = 0$  в системе уравнений Максвелла, ограничивают минимальный радиус пучка и ограничивают интенсивность в фокусе. Это приводит к необходимости корректировки формулы (1).

Как правило, самофокусировка и филаментация света исследуются в приближении неизменности ли-

<sup>1)</sup>e-mail: vamakarov@phys.msu.ru

нейной или циркулярной поляризации света в процессе распространения. В этом же приближении получена формула Марбургера и ее немногочисленные модификации [19, 20]. Критические мощности, определяющие режимы самофокусировки эллиптически поляризованного света в изотропной среде с пространственной дисперсией кубической нелинейности, в которой при распространении света распределение его интенсивности теряет задаваемую на входе в среду гауссову форму, а поляризация становится неоднородной в плоскости поперечного сечения, в безабберационном приближении определены в [21]. В среде, где компоненты тензора кубической нелинейности имеют разные знаки, в поперечном распределении распространяющегося пучка возможно появление кольцеобразных областей с чередующимся правым или левым вращением вектора напряженности электрического поля [22]. В случае аномальной частотной дисперсии импульсное излучение распадается на фрагменты с противоположными направлениями вращения вектора напряженности электрического поля [23]. В [24, 25] показано, что при самофокусировке изначально эллиптически поляризованного гауссова пучка в изотропной среде с различными механизмами кубической нелинейности возникают замкнутые линии сингулярности круговой поляризации ( $C$ -линии). Они появляются как в допороговых, так и в сверхпороговых режимах самовоздействия света и имеют в общем случае вид трехмерных кривых, форма которых близка к окружностям, лежащим в плоскости поперечного сечения пучка, центры которых находятся на его оси. При самофокусировке света в изотропной фазе жидких кристаллов в предпереходной области температур резко возрастает нелокальность нелинейного оптического отклика на внешнее световое поле. В этом случае образуется сложная система  $C$ -линий с правой и левой циркулярной поляризацией в его сечениях, близких к локальным экстремумам пиковых интенсивностей, соответствующих циркулярно поляризованных компонент электрического поля. Некоторые аспекты коллапса оптического пучка с определенным неоднородным распределением поляризации обсуждались в [19, 26].

В настоящей работе исследуется возможность использования соотношения близкого к формуле (1) в случае самофокусировки световых пучков гауссова профиля в изотропной гиротропной среде (класс симметрии  $\infty\infty$ ), демонстрирующей пространственную дисперсию кубической нелинейности.

**2. Постановка задачи.** Пусть неоднородно поляризованный монохроматический световой пучок с

частотой  $\omega$  распространяется вдоль оси  $z$  цилиндрической системы координат  $(\mathbf{r}, z)$  в изотропной гиротропной непоглощающей среде, обладающей пространственной дисперсией кубической нелинейности. Вектор напряженности его электрического поля  $\mathcal{E}$  может быть выражен через медленно меняющуюся комплексную амплитуду  $\mathbf{E}(\mathbf{r}, z)$ :

$$\mathcal{E}(\mathbf{r}, z, t) = \text{Re} [\mathbf{E}(\mathbf{r}, z) \exp(i(kz - \omega t))]. \quad (2)$$

Здесь  $\mathbf{r} = (x, y)$ ,  $k = n\omega/c$  – волновое число,  $n$  – линейный действительный показатель преломления среды,  $c$  – скорость света в вакууме. Возникающая при этом нелинейная поляризация среды  $\mathbf{P}^{\text{NL}} = \mathbf{P}_{\text{loc}}^{\text{NL}} + \mathbf{P}_{\text{nloc}}^{\text{NL}}$ , где

$$P_{\text{loc},i}^{\text{NL}}(\omega) = \chi_{ijlm}^{(3)}(\omega; -\omega, \omega, \omega) E_j^* E_l E_m, \quad (3)$$

$$P_{\text{nloc},i}^{\text{NL}}(\omega) = \gamma_{ijlmk}^{(3)}(\omega; -\omega, \omega, \omega) E_j^* E_l \partial_k E_m + \gamma_{ijlmk}^{(3)}(\omega; \omega, \omega, -\omega) E_j E_l \partial_k E_m^*. \quad (4)$$

В (3) и (4) индексы  $i, j, k, l$  и  $m$  принимают значения  $x, y$  и  $z$ . Ненулевые компоненты симметричного по перестановке последних двух индексов тензора локальной кубической восприимчивости  $\hat{\chi}^{(3)}$  задаются двумя константами  $\chi_{1,2}$  [2, 27, 28]:  $\chi_{ijlm}^{(3)} = \chi_1(\delta_{il}\delta_{jm} + \delta_{im}\delta_{jl}) + \chi_2\delta_{ij}\delta_{lm}$ . Здесь  $\delta_{ij}$  – символ Кронекера. Тензоры нелокальной кубической восприимчивости  $\hat{\gamma}^{(3)}(\omega; -\omega, \omega, \omega)$  и  $\hat{\gamma}^{(3)}(\omega; \omega, \omega, -\omega)$  характеризуют пространственную дисперсию нелинейной среды. В отсутствие поглощения второй из них тождественно равен нулю [29], а первый симметричен по перестановке индексов  $i$  и  $j$  [29]. Использование далее метода медленно меняющихся амплитуд [3] для описания распространения пучка позволяет упростить формулу (4)

$$P_{\text{nloc},i}^{\text{NL}} = ik\gamma_{ijlmz}^{(3)} E_j^* E_l E_m, \quad (5)$$

и делает тензор  $\gamma_{ijlmz}^{(3)}$  в (5) дополнительно симметричным по перестановке индексов  $l$  и  $m$ . Все ненулевые компоненты такого тензора определяются единственной константой  $\gamma_1$  [27, 28, 30]:

$$\gamma_{ijlmz}^{(3)}(\omega; -\omega, \omega, \omega) = \gamma_1(e_{izl}\delta_{jm} + e_{izm}\delta_{jl} + e_{jzl}\delta_{im} + e_{jzm}\delta_{il}), \quad (6)$$

где  $e_{ijk}$  – символ Леви–Чивиты. В этом случае волновое уравнение сводится к системе двух связанных уравнений параболического типа для медленно меняющихся амплитуд  $E_{\pm} = (E_x \pm iE_y)/\sqrt{2}$  циркулярно

поляризованных компонент напряженности электрического поля:

$$\frac{\partial E_{\pm}}{\partial z} - \frac{i}{2k} \left( \frac{\partial^2 E_{\pm}}{\partial r^2} + \frac{1}{r} \frac{\partial E_{\pm}}{\partial r} \right) = \pm i \kappa_0 E_{\pm} + \frac{4ik\chi_1}{n^2} [(1 \pm \delta)|E_{\pm}|^2 + (1 + \beta)|E_{\mp}|^2] E_{\pm}. \quad (7)$$

Здесь  $\delta = 2k\gamma_1/\chi_1$ ,  $\beta = \chi_2/\chi_1$ ,  $\kappa_0 = 2\pi k^2\gamma_0/n^2$ ,  $n$  – линейный показатель преломления,  $\gamma_0$  – константа, задающая все ненулевые компоненты тензора линейной гирации. От связанного с ней слагаемого в правой части (7) легко избавиться подстановкой  $E_{\pm} = F_{\pm} \exp(\pm i\kappa_0 z)$ . Решение полученной системы уравнений для  $F_{\pm}$ , совпадающей с (7) при  $\kappa_0 = 0$ , позволяет найти нормированную интенсивность  $I = |E_+|^2 + |E_-|^2 = |F_+|^2 + |F_-|^2$ , зависимость которой от пространственных координат представляет интерес при исследовании самофокусировки лазерного излучения. Константа  $\kappa_0$  также не влияет на изменение степени эллиптичности эллипса поляризации  $M = (|E_+|^2 - |E_-|^2)/I$ , связанной с параметром  $R = (1 - \sqrt{1 - M^2})/M$  при  $M \neq 0$ ; и равным нулю при  $M = 0$ . Модуль  $R$  равен отношению длин малой и большой полуосей эллипса поляризации, а его знак совпадает со знаком  $M$ . Линейно поляризованному излучению соответствует  $M = R = 0$ , а циркулярно поляризованному –  $M = R = \pm 1$  (в зависимости от направления вращения вектора напряженности электрического поля). Использование этого параметра полезно, поскольку изменение  $z_c$  от  $M$ , описанное далее, практически полностью сосредоточено в узких областях  $0.9 < |M| < 1$ , в то время как зависимости  $z_c$  от  $R$  значительно равномернее. Константа  $\kappa_0$  дает только пропорциональный  $z$  вклад в угол поворота  $\Phi$  главной оси эллипса поляризации в процессе распространения:  $\Phi = \text{Arg}(E_+ E_-^*)/2 = \kappa_0 z + \text{Arg}(F_+ F_-)$ .

Пусть на границу среды  $z = 0$  падает осесимметричный эллиптически поляризованный лазерный пучок с гауссовым профилем амплитуды:

$$E_{\pm}(x, y, 0) = E_0 \sqrt{(1 \pm M_0)/2} \exp(-r^2/w^2), \quad (8)$$

где  $E_0$  – напряженность электрического поля в его центре, а  $M_0 = M(r, z = 0)$ . Для численного решения (7) с начальными условиями (8) использовалась схема ЕТD-CN [31] с конечно-разностной аппроксимацией производных по координате  $r$ . Координата распространения нормировалась на длину Рэлея  $z_R = kw^2/2$ , а  $F_{\pm}$  на  $E_0$ . В итоге падающее излучение полностью задается двумя безразмерными параметрами:  $P = 2\pi\chi_1 E_0^2 k^2 w_0^2/n^2$  и  $M_0$ , а среда – параметрами  $\delta$  и  $\beta$ . Нашей задачей являлся подбор при разных фиксированных значениях  $M_0$ ,  $\delta$  и  $\beta$  таких тро-

ек независимых параметров  $A(M_0, \delta, \beta)$ ,  $B(M_0, \delta, \beta)$  и  $P_c(M_0, \delta, \beta)$ , при которых формула (1) наилучшим образом аппроксимирует зависимость  $\zeta_c = z_c/z_R$  от  $P$ , полученную при численном решении уравнений (7).

**3. Методика определения параметров формулы Марбургера.** Прежде всего заметим, что  $B$  и  $C$  в формуле (1) не являются независимыми величинами. При стремлении  $P$  к  $P_c$  расстояние  $z_c$ , на котором происходит коллапс пучка, должно стремиться к бесконечности, а это возможно только если  $C = (1 - B)^2$ . В наших расчетах для каждой комбинации параметров падающего излучения и нелинейной среды значение  $\zeta_c$  определялось как координата слоя численной схемы, на котором величина  $|E_+|^2 + |E_-|^2$  превышала  $E_0^2$  более, чем в 1000 раз. Аппроксимация зависимости  $\zeta_c(P)$  производилась по  $N = 30$  значениям начальной безразмерной мощности  $P_i$  ( $i = 1, 2, \dots, N$ ), специальным образом выбранных в диапазоне от  $P_0$  до  $5P_0$ , где  $P_0(\beta, M) = [0.5 + \beta(1 - M^2)/4]^{-1}$  – максимальное возможное значение пороговой мощности самофокусировки гауссова пучка в негиротропной среде с керровской нелинейностью [25]. Оптимальные значения  $A$ ,  $B$  и  $P_c$  определялись в результате минимизации суммы

$$\sigma^2 = \frac{1}{N} \sum_{i=1}^N |\zeta'_{ci} - \zeta''_{ci}|^2, \quad (9)$$

где  $\zeta'_{ci}$  – значение координаты коллапса пучка с начальной мощностью  $P_i$ , полученное при помощи численного моделирования его распространения, а  $\zeta''_{ci}$  – соответствующее значение мощности, получаемое с помощью формулы (1). Для этого нами использовался метод дифференциальной эволюции [32], в котором в качестве начальных значений для параметров  $A$  и  $B$  выбирались величины, выполняющие эту роль в формуле Марбургера для линейно поляризованного излучения, т.е.  $A = 0.367$  и  $B = 0.852$ , а для начальной безразмерной мощности  $P_c$  использовалось значение  $0.9P_0$ . Такой выбор обусловлен тем, что минимальное значение  $P_i$ , используемое в численных расчетах, было  $P_0$ . Поэтому его использование для получения зависимости (1) невозможно, так как при такой мощности искомая зависимость  $\zeta_c(P)$  имеет сингулярность. Подчеркнем, что результаты поиска  $A$ ,  $B$  и  $P_c$  практически не зависели от их начальных значений, если только они случайно не совпадали с теми, при которых искомая функция  $\zeta_c(P)$  демонстрирует сингулярность.

Зависимость  $\zeta_c(P)$ , задаваемая формулой (1), асимптотически резко возрастает вблизи  $P = P_c$  и

плавно убывает при  $P \rightarrow \infty$ . Поэтому используемые для численного моделирования  $P_i$  ( $i = 1, 2, \dots, N$ ) выбирались так, чтобы значения  $\sqrt{\ln(P_i/P_0)}$  были равномерно распределены в диапазоне от 0 до  $\sqrt{\ln 5}$ . Это обеспечивало большую плотность точек в области низких мощностей падающего излучения, необходимую для надлежащей аппроксимации зависимости  $\zeta_c(P)$ . Пример полученной таким методом зависимости  $\zeta_c(P)$  в случае самофокусировки лазерного пучка со степенью эллиптичности  $M_0 = 0.8$  (отношение осей  $R = 0.5$ ) в среде, демонстрирующей ориентационный механизм нелинейного оптического отклика ( $\beta = 6$ ) изображен на рис. 1. Полученная в результате численного решения уравнений распространения зависимость  $\zeta_c(P)$  и аналогичная кривая, построенная с помощью формулы (1) с найденными в результате аппроксимации значениями  $A = 0.293$ ,  $B = 0.744$  и  $P_c = 0.857$ , идеально совпадают. Среднеквадратичная ошибка  $\sigma \approx 0.0047$ .

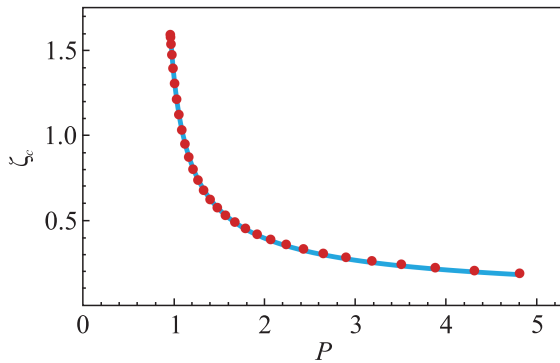


Рис. 1. (Цветной онлайн) Полученные в результате численного решения уравнений распространения зависимость  $\zeta_c(P)$  (красные маркеры) и аналогичная кривая, построенная с помощью формулы (1) с найденными в результате аппроксимации значениями  $A = 0.293$ ,  $B = 0.744$  и  $P_c = 0.857$  (синяя линия) при  $M_0 = 0.8$  ( $R = 0.5$ ),  $\delta = 0$  и  $\beta = 6$

**4. Самофокусировка в среде без пространственной дисперсии.** В негиротропной среде ( $\kappa_0 = 0$  и  $\delta = 0$ ) уравнения (7) для амплитуд  $E_{\pm}$  становятся одинаковыми, а зависимости  $A(M_0)$ ,  $B(M_0)$  и  $P_c(M_0)$  являются четными функциями  $M_0$ .

Для электрострикционного механизма нелинейности ( $\beta = 0$ ) зависимость параметров  $A$ ,  $B$  и  $P_c$  от степени эллиптичности падающего излучения полностью отсутствует. В этом случае при любых  $M_0$  используемый алгоритм давал практически одинаковые значения  $A(M_0) = 0.355$  и  $B(M_0) = 0.801$ , отличающиеся от входящих в формулу Марбургера соответственно на 3.5 и 6%. При этом величина  $P_c = 1.89$ , что на 5.3% ниже  $P_0(M_0) = 2$ . Среднеквадратичная

ошибка всех данных аппроксимаций составляла менее  $\sigma = 0.006$ .

В случае электронного механизма нелинейности ( $\beta = 1$ ) появляются незначительные зависимости  $A$  и  $B$  от  $M_0$ , изображенные на рис. 2а соответственно красными и синими маркерами. Для наглядности здесь и далее показаны не только зависимости  $A$  и  $B$  от  $M_0$  (верхняя горизонтальная ось), но и  $A$  и  $B$  от  $R$  (нижняя горизонтальная ось). Из-за нелинейной связи  $M_0$  и  $R$  возникает неравномерное масштабирование вдоль одной из осей. Для строго линейной ( $M_0 = 0$ ) и строго циркулярной ( $M_0 = \pm 1$ ) поляризаций  $A(M_0) = 0.355$  и  $B(M_0) = 0.801$ . Эти значения отличаются от  $A(0) = 0.367$  и  $B(0) = 0.825$  соответственно на 3.5 и 6%. Максимальное значение  $A$  ( $B$ ), равное 0.359 (0.803), достигается при  $M_0 \approx 0.62$  ( $M_0 \approx 0.98$ ), а минимальное значение, равное 0.344 (0.748), – при  $M_0 \approx 0.88$  ( $M_0 \approx 0.55$ ). Амплитуды изменения  $A(M_0)$  и  $B(M_0)$  соответственно равны  $0.02A(0)$  и  $0.07B(0)$ , что соизмеримо с величиной их отличия от значений  $A$  и  $B$  в формуле Марбургера. Критическая мощность самофокусировки монотонно возрастает с увеличением степени эллиптичности (синие маркеры на рис. 2с) и составляет при разных  $M_0$  от 94.1% до 94.7% от  $P_0(\beta = 1, M_0) = [0.5 + (1 - M_0^2)/4]^{-1}$  (красные маркеры на рис. 2с). Максимальная сред-

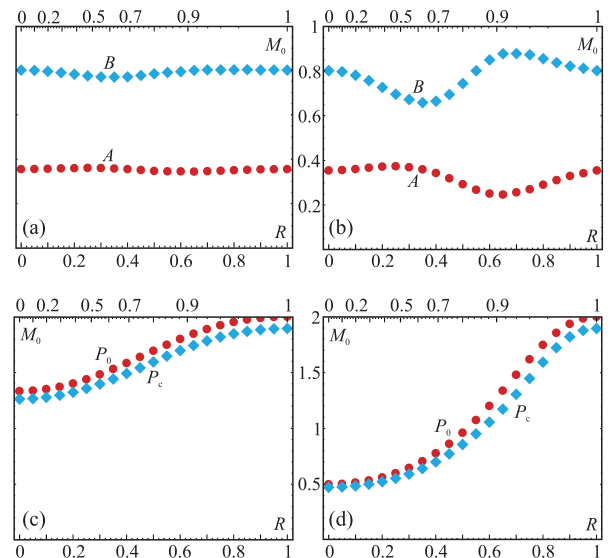


Рис. 2. (Цветной онлайн) Зависимости параметров  $A(M_0)$  и  $B(M_0)$  (соответственно красные и синие маркеры на рис. (а) и (б)) и критической мощности самофокусировки и  $P_0 = [0.5 + \beta(1 - M^2)/4]^{-1}$  (соответственно синие и красные маркеры на рис. (с) и (д)) от отношения длин осей эллипса поляризации падающего излучения при  $\beta = 1$  ((а) и (с)) и  $\beta = 6$  ((б) и (д))

неквадратичная ошибка данных аппроксимаций составляла  $\sigma = 0.006$ .

При ориентационном механизме нелинейности ( $\beta = 6$ ) численное значение  $A(M_0)$  при  $M_0 = 0$ , равное  $= 0.354$ , отличается от  $A$ , входящего в формулу Марбургера, на 3.5%. С ростом степени эллиптичности функция  $A(M_0)$  постепенно возрастает, достигая максимального значения 0.387 при  $M_0 \approx 0.38$ , после чего убывает вплоть до 0.247 при  $M_0 \approx 0.91$  и далее возвращается к значению 0.354 при строго циркулярной поляризации падающего излучения (красные маркеры на рис. 2b). Параметр  $B(M_0)$  изменяется практически точно в “противофазе” (синие маркеры на рис. 2b). Начиная от  $B = 0.801$  при линейной поляризации, отличающегося от входящего в формулу Марбургера значения  $B$  на 6%, функция  $B(M_0)$  убывает до минимального значения 0.658, достигаемого при  $M_0 \approx 0.62$ , а затем возрастает и при  $M_0 \approx 0.94$  достигает максимального значения, равного 0.880, а затем вновь убывает и достигает минимума 0.801 при строго циркулярной поляризации. При  $\beta = 6$  амплитуды изменения  $A(M_0)$  и  $B(M_0)$  достаточно большие. Они составляют соответственно 39 и 27% от  $A(0)$  и  $B(0)$ . Критическая мощность самофокусировки монотонно возрастает с ростом  $M_0$  (синие маркеры на рис. 2d), меняясь в пределах от 88% до 95% от  $P_0(\beta = 6, M_0) = [0.5 + 3(1 - M_0^2)/2]^{-1}$  (красные маркеры на рис. 2d). Максимальная среднеквадратичная ошибка данных аппроксимаций составила  $\sigma = 0.01$ .

**5. Самофокусировка в среде с пространственной дисперсией.** В случае изотропной гиротропной среды с нелокальностью нелинейного оптического отклика ( $\beta = 6, \delta \neq 0$ ) зависимости  $A(M_0)$ ,  $B(M_0)$  и  $P_c(M_0)$ , построенные при разных  $\delta$ , перестают быть четными функциями  $M_0$ . Проведенные численные расчеты показали, что рост  $\delta$  практически не сказывается на характере зависимости  $A(M_0)$  и не смещает график этой функции, но увеличивает разность между абсолютными максимальным и минимальным значениями функции  $B(M_0)$ , а также сдвигает точки достижения ее локальных экстремумов в сторону положительных значений  $M_0$  (рис. 3a). При этом с ростом  $\delta$  усиливается небольшая несимметричность графиков  $A(M_0)$  и  $B(M_0)$  относительно оси  $M_0 = 0$ . Увеличение разности между максимальным и минимальным значениями функций  $A(M_0)$  и  $B(M_0)$  с ростом  $\delta$  в случае положительных и отрицательных  $M_0$  иллюстрирует табл. 1. В ней приведены абсолютные минимумы и максимумы функций  $A(M_0)$  и  $B(M_0)$  на отрезках  $-1 \leq M_0 \leq 0$  и  $0 \leq M_0 \leq 1$ .

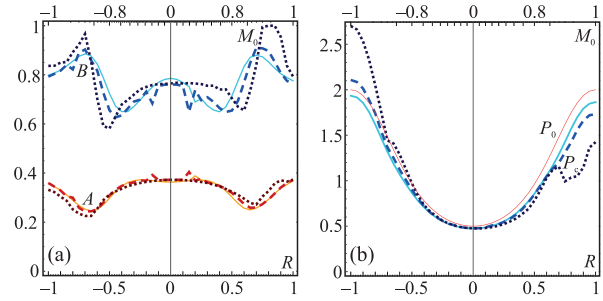


Рис. 3. (Цветной онлайн) (а) – Зависимости  $A(M_0)$  (линии в теплых оттенках) и  $B(M_0)$  (линии в холодных оттенках) от отношения длин осей эллипса поляризации падающего излучения при  $\delta = 0.02$  (тонкие сплошные оранжевые и голубые линии),  $\delta = 0.1$  (редкий красный и синий пунктир) и  $\delta = 0.3$  (частый темно-красный и темно-синий пунктир). (б): Зависимости  $P_c(M_0)$  при  $\delta = 0.02$  (сплошная голубая линия), 0.1 (синий редкий пунктир), 0.3 (темно-синий частый пунктир). Тонкая красная линия –  $P_0(M_0) = [0.5 + 3(1 - M^2)/2]^{-1}$

**Таблица 1.** Диапазоны изменения параметров  $A(M_0)$  и  $B(M_0)$  обобщенной формулы Марбургера для правой ( $M_0 > 0$ ) и левой ( $M_0 < 0$ ) эллиптически поляризованных излучения, падающего на изотропную гиротропную среду с ориентационной нелинейностью керровского типа

$\delta$	A		B	
	$M \leq 0$	$M \geq 0$	$M \leq 0$	$M \geq 0$
0	0.247 ÷ 0.387		0.658 ÷ 0.880	
0.02	0.246 ÷ 0.372	0.250 ÷ 0.389	0.650 ÷ 0.885	0.650 ÷ 0.879
0.1	0.243 ÷ 0.392	0.259 ÷ 0.404	0.627 ÷ 0.903	0.648 ÷ 0.909
0.3	0.225 ÷ 0.372	0.272 ÷ 0.373	0.582 ÷ 0.966	0.655 ÷ 1.000

Рост  $\delta$  приводит также к значительному увеличению  $P_c$  для падающего на среду эллиптически поляризованного пучка с  $M_0 \approx -1$  (рис. 3b), которое настолько велико, что превышает  $P_0(\beta = 6, M_0) = [0.5 + 3(1 - M_0^2)/2]^{-1}$ , использованное для первоначальной оценки при нахождении  $A(M_0)$ ,  $B(M_0)$  и  $P_c(M_0)$ . При  $\delta = 0.3$  наибольший рост пороговой мощности составляет 42.5% при  $M = -1$ . Увеличение  $\delta$  также существенно снижает  $P_c$  при  $M_0 \approx 1$ . При  $\delta = 0.3$  наибольшее уменьшение пороговой мощности составляет 39.1% при  $M = 1$ . Для  $\delta \approx 0.01$  аналогичные изменения при  $M_0 \approx -1$  и  $M_0 \approx 1$  составляют менее 2%.

**6. Заключение.** Основным и немного неожиданным результатом работы является утверждение о том, что превышение мощности  $P$  однородно эллиптически поляризованного лазерного пучка гауссова профиля над критическим значением  $P_c$  и расстояние  $z_c$ , на котором достигается одновременное его бесконечное сжатие и неограниченное возраста-

ние его интенсивности, оказываются связанными соотношением, форма которого совпадает со знаменитой формулой Марбургера, изначально полученной в приближении неизменности линейной поляризации излучения, распространяющегося в среде с кубической нелинейностью. В то же время параметры  $A$ ,  $B$  и  $C = (1 - B)^2$  этого соотношения отличаются от аналогичных величин в формуле Марбургера и зависят от степени эллиптичности эллипса поляризации  $M_0$  падающего излучения, от параметра  $\beta$ , определяющего механизм нелинейного оптического отклика (электрострикционный, электронный или ориентационный) и от параметра, характеризующего пространственную дисперсию кубической нелинейности. Их зависимость от  $M_0$  всегда немонотонна и увеличение  $A$  в ней при изменении  $M_0$  сопровождается одновременным уменьшением  $B$  и наоборот. Их отличие от аналогичных величин в формуле Марбургера тем сильнее, чем больше величина  $\beta$ . При этом для большинства практически важных ситуаций упомянутое отличие составляет несколько процентов. Можно осторожно утверждать, что вид связи между  $P/P_c$  и  $z_c$  скорее всего обусловлен начальным гауссовым поперечным пространственным распределением интенсивности на границе среды, а не состоянием его поляризации в случае, если она изначально одинакова в точках его поперечного сечения.

**Финансирование работы.** Данная работа финансировалась за счет средств бюджета Московского государственного университета имени М. В. Ломоносова. Никаких дополнительных грантов на проведение или руководство данным конкретным исследованием получено не было.

**Конфликт интересов.** Авторы заявляют, что у них нет конфликта интересов.

1. Г. А. Аскарьян, *ЖЭТФ* **42**, 1567 (1962).
2. Y. R. Shen, *The principles of nonlinear optics*, J. Wiley, N.Y. (1984).
3. С. А. Ахманов, А. П. Сухоруков, Р. В. Хохлов, *Успехи физических наук* **93**, 19 (1967).
4. R. W. Boyd, S. G. Lukishova, and Y. R. Shen, *Self-focusing: Past and present: Fundamentals and prospects*, Springer, N.Y. (2009).
5. Г. А. Аскарьян, *Успехи физических наук* **111**, 249 (1973).
6. В. Н. Луговой, А. М. Прохоров, *Успехи физических наук* **111**, 203 (1973).
7. А. П. Сухоруков, *Успехи физических наук* **101**, 81 (1970).
8. С. В. Чекалин, В. О. Компанец, А. Е. Дормидонов, В. П. Кандидов, *Успехи физических наук* **189**, 299 (2019).
9. С. В. Чекалин, В. П. Кандидов, *Успехи физических наук* **183**, 133 (2013).
10. S. L. Chin, *Femtosecond laser filamentation*, Springer, N.Y. (2010).
11. S. L. Chin, S. A. Hosseini, W. Liu, Q. Luo, F. Théberge, N. Aközbeke, A. Becker, V. P. Kandidov, O. G. Kosareva, and H. Schroeder, *Can. J. Phys.* **83**, 863 (2019).
12. A. Couairon and A. Mysyrowicz, *Phys. Rep.* **441**, 47 (2007).
13. L. Berge, S. Skupin, R. Nuter, J. Kasparian, and J.-P. Wolf, *Rep. Prog. Phys.* **70**, 1633 (2007).
14. J. Kasparian and J.-P. Wolf, *Opt. Express* **16**, 466 (2008).
15. В. П. Кандидов, С. А. Шленов, О. Г. Косарева, *Квантовая электроника* **39**, 205 (2009).
16. P. L. Kelley, *Phys. Rev. Lett.* **15**, 1005 (1965).
17. В. Н. Гольдберг, В. И. Таланов, Р. Э. Эрм, *Известия Вузов. Радиофизика* **10**, 674 (1967).
18. J. H. Marburger, *Progress in Quantum Electronics* **4**, 35 (1975).
19. L. Lu, Zh. Wang, and Y. Cai, *Opt. Express* **30**, 15905 (2022).
20. В. П. Кандидов, В. Ю. Федоров, *Квантовая электроника* **34**, 1163 (2004).
21. А. А. Голубков, В. А. Макаров, *Известия Вузов. Радиофизика* **31**, 1042 (1988).
22. А. А. Голубков, В. А. Макаров, И. А. Пережогин, *Вестник Московского Университета* **1**, 52 (2009).
23. В. А. Макаров, И. А. Пережогин, Н. Н. Потравкин, *Оптика и спектроскопия* **109**, 839 (2010).
24. N. A. Panov, V. A. Makarov, K. S. Grigoriev, M. S. Yatskevitch, and O. G. Kosareva, *Physica D: Nonlinear Phenomena* **332**, 73 (2016).
25. K. S. Grigoriev and V. A. Makarov, *J. Opt. Soc. Am. B* **36**, 1690 (2019).
26. R.-P. Chen, L.-Xi. Zhong, Kh.-H. Chew, T.-Y. Zhao, and X. Zhang, *Laser Phys.* **25**, 075401 (2015).
27. Ю. И. Сиротин, М. П. Шаскольская, *Основы кристаллофизики*, Наука, М. (1979).
28. G. F. Smith, *Ann. N. Y. Acad. Sci.* **172**, 59 (1970).
29. P. S. Ryzhikov and V. A. Makarov, *Laser Phys. Lett.* **20**, 105401 (2023).
30. S. V. Popov, Yu. P. Svirko, and N. I. Zheludev, *Susceptibility tensor for nonlinear optics. 1995, Optics and optoelectronics series*, Institute of Physics Publishing, Bristol and Philadelphia, Bristol (1995).
31. B. Kleefeld, A. Q. M. Khaliq, and B. A. Wade, *Numerical Methods for Partial Differential Equations* **28**, 1309 (2012).
32. M. F. Ahmad, N. A. M. Isa, W. H. Lim, and K. M. Ang, *Alexandria Engineering Journal* **61**, 3831 (2022).